

Студ. С.И. Латушко

Науч. рук. проф., д-р хим. наук Л.А. Башкиров  
(кафедра физической и коллоидной химии, БГТУ)

**КРИСТАЛЛИЧЕСКАЯ СТРУКТУРА И СВОЙСТВА  
ЛЮМИНОФОРОВ НА ОСНОВЕ  $\text{LaInO}_3$ , ЛЕГИРОВАННОГО  
ИОНАМИ РЕДКОЗЕМЕЛЬНЫХ ЭЛЕМЕНТОВ**

В настоящее время являются перспективными исследования люминесцентных материалов на основе легированного ионами редкоземельных элементов индата лантана  $\text{LaInO}_3$  в связи с широкими возможностями их применения, например, в дисплеях с автоэлектронной эмиссией (FED-дисплеях), светодиодах белого света и других оптоэлектронных устройствах. Исследования люминесцентных свойств твердых растворов на основе индата лантана, легированного ионами  $\text{Pr}^{3+}$ , позволили установить, что введение в кристаллическую решетку индата лантана ионов  $\text{Pr}^{3+}$  позволяет получить фотolumинофор, излучающий в красной и сине-зеленой областях спектра [1]. Однако интенсивность полос фотолюминесценции ионов  $\text{Pr}^{3+}$ , как и других ионов редкоземельных элементов, невелика. В связи с этим в настоящее время проводятся исследования, направленные на поиск эффективного сенсибилизатора фотолюминесцентных свойств ионов  $\text{Pr}^{3+}$ . Такими ионами-сенсибилизаторами могут быть ионы  $\text{Bi}^{3+}$ ,  $\text{Sb}^{3+}$ ,  $\text{Cr}^{3+}$ . Известно, что при производстве светодиодов белого света люминофоры, излучающие красный, зеленый, синий свет, обычно наносят на элементы, излучающие свет в ультрафиолетовой области спектра. Так как в процессе работы светодиодов происходит их нагрев, то во избежание разрушения прибора коэффициенты линейного теплового расширения кристаллической решетки подложки и пленки должны быть близки.

В связи с этим в настоящей работе изучена кристаллическая структура, тепловое расширение, получены и проанализированы спектры фотолюминесценции полученных твердофазным методом твердых растворов на основе индата лантана  $\text{LaInO}_3$ , легированного ионами  $\text{Pr}^{3+}$  с использованием в качестве возможных сенсибилизаторов ионов  $\text{Sb}^{3+}$ ,  $\text{Bi}^{3+}$ , пар ионов  $\text{Bi}^{3+}-\text{Cr}^{3+}$ ,  $\text{Cr}^{3+}-\text{Sb}^{3+}$ ,  $\text{Bi}^{3+}-\text{Sb}^{3+}$ .

Образцы получали твердофазным методом из оксидов лантана  $\text{La}_2\text{O}_3$ , индия  $\text{In}_2\text{O}_3$ , празеодима  $\text{Pr}_6\text{O}_{11}$ , сурьмы  $\text{Sb}_2\text{O}_3$ , хрома  $\text{Cr}_2\text{O}_3$  и висмута  $\text{Bi}_2\text{O}_3$ . Все реагенты имели квалификацию «х.ч.». Оксид лантана был предварительно прокален при 1273 К в течение 1 ч. Порошки оксидов, взятые в заданных молярных соотношениях, смешивали и мололи в планетарной мельнице с добавлением этанола. Полученную шихту прессовали в таблетки с добавлением этанола и обжигали на

*Секция химической технологии и техники*

воздухе при 1523 К в течение 6 ч. Обжиг образцов, содержащих ионы  $\text{Bi}^{3+}$ , проводили при 1273 К в течение 8 ч. После предварительного обжига таблетки дробили, перемалывали, прессовали в бруски длиной 30 мм и сечением  $5 \times 5 \text{ мм}^2$  и обжигали в том же режиме.

Рентгеновские дифрактограммы получали на дифрактометре D8 ADVANCED с использованием  $\text{CuK}_\alpha$ -излучения. Термическое расширение керамических образцов твердых растворов на основе индата лантана исследовали в интервале температур 400–1100 К при помощи кварцевого дилатометра. Измерения спектров фотолюминесценции проводили при комнатной температуре на автоматизированном спектрофлуориметре СДЛ-2 в Институте физики им. Б.И. Степанова НАН Беларуси.

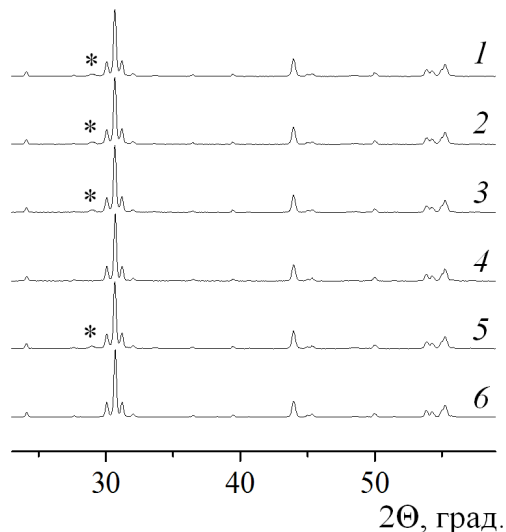
Анализ рентгеновских дифрактограмм (рис. 1) показал, что полученные керамические образцы твердых растворов на основе индата лантана  $\text{LaInO}_3$ , легированного ионами  $\text{Pr}^{3+}$ ,  $\text{Sb}^{3+}$ ,  $\text{Cr}^{3+}$ ,  $\text{Bi}^{3+}$ , имели кристаллическую структуру орторомбически искаженного перовскита типа  $\text{GdFeO}_3$  ( $a < c/\sqrt{2} < b$ ), параметры элементарной ячейки которых приведены в табл. 1. Образцы твердых растворов на основе  $\text{LaInO}_3$ , легированного ионами  $\text{Pr}^{3+}$ – $\text{Bi}^{3+}$ ,  $\text{Pr}^{3+}$ – $\text{Bi}^{3+}$ – $\text{Cr}^{3+}$  были однофазными, а образцы твердых растворов на основе  $\text{LaInO}_3$ , легированного ионами  $\text{Pr}^{3+}$ – $\text{Sb}^{3+}$ ,  $\text{Cr}^{3+}$ – $\text{Sb}^{3+}$ ,  $\text{Pr}^{3+}$ – $\text{Cr}^{3+}$ – $\text{Sb}^{3+}$ ,  $\text{Pr}^{3+}$ – $\text{Bi}^{3+}$ – $\text{Sb}^{3+}$ , содержали примесную фазу  $\text{LaSbO}_3$ .

**Таблица 1 – Параметры  $a$ ,  $b$ ,  $c$  и объем  $V$  элементарной ячейки, степень орторомбического искажения  $\varepsilon$  и рентгеноструктурная плотность  $\rho_{\text{рент}}$  для твердых растворов на основе  $\text{LaInO}_3$ , легированного ионами  $\text{Pr}^{3+}$ ,  $\text{Sb}^{3+}$ ,  $\text{Cr}^{3+}$ ,  $\text{Bi}^{3+}$**

Состав	Параметры кристаллической решетки					$\rho_{\text{рент}},$ $\text{г}/\text{см}^3$	$c/\sqrt{2}, \text{\AA}$
	$a, \text{\AA}$	$b, \text{\AA}$	$c, \text{\AA}$	$V \cdot 10^3, \text{\AA}^3$	$\varepsilon \cdot 10^2$		
$\text{La}_{0,997}\text{Pr}_{0,003}\text{In}_{0,98}\text{Sb}_{0,02}\text{O}_3$	5,734	5,939	8,237	280,5	3,80	7,15	5,824
$\text{LaIn}_{0,96}\text{Cr}_{0,02}\text{Sb}_{0,02}\text{O}_3$	5,734	5,929	8,228	279,7	3,40	7,19	5,818
$\text{La}_{0,997}\text{Pr}_{0,003}\text{In}_{0,96}\text{Cr}_{0,02}\text{Sb}_{0,02}\text{O}_3$	5,728	5,931	8,232	279,7	3,54	7,14	5,821
$\text{La}_{0,967}\text{Pr}_{0,003}\text{Bi}_{0,03}\text{InO}_3$	5,732	5,949	8,232	280,7	3,79	7,19	5,821
$\text{La}_{0,967}\text{Pr}_{0,003}\text{Bi}_{0,03}\text{In}_{0,98}\text{Sb}_{0,02}\text{O}_3$	5,735	5,940	8,238	280,7	3,57	7,20	5,825
$\text{La}_{0,967}\text{Pr}_{0,003}\text{Bi}_{0,03}\text{In}_{0,98}\text{Cr}_{0,02}\text{O}_3$	5,728	5,945	8,229	280,2	3,79	7,18	5,819

Полученные дилатометрическим методом температурные зависимости относительного удлинения  $\Delta l/l_0$  керамических образцов на основе индата лантана, легированного ионами  $\text{Pr}^{3+}$ ,  $\text{Sb}^{3+}$ ,  $\text{Cr}^{3+}$ ,  $\text{Bi}^{3+}$  (рис. 2) показывают, что в интервале температур 400–1100 К относительное удлинение  $\Delta l/l_0$  при повышении температуры увеличивается практически ли-

Секция химической технологии и техники  
нейно. Это указывает на отсутствие в исследованных твердых растворах  
на основе индата лантана каких-либо фазовых переходов в указанном  
интервале температур.



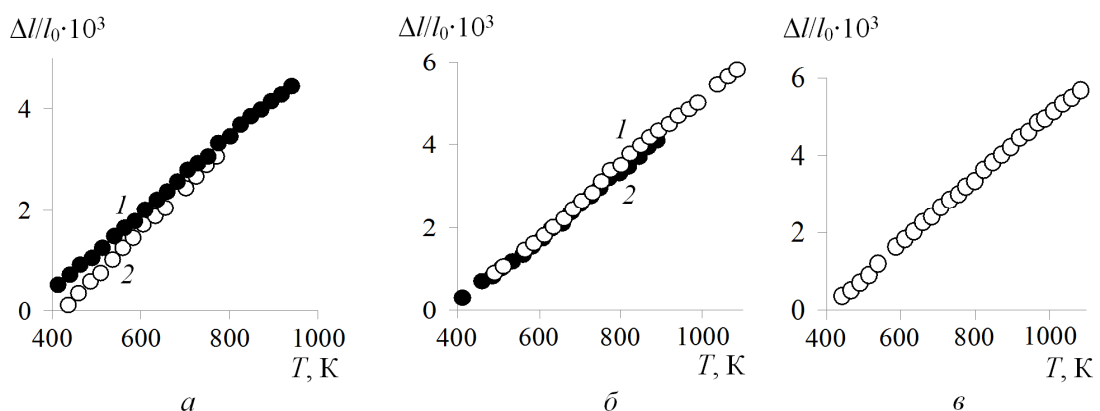
\* – примесная фаза  $\text{LaSbO}_3$

**Рисунок 1 – Рентгеновские дифрактограммы твердых растворов**

$\text{La}_{0,997}\text{Pr}_{0,003}\text{In}_{0,98}\text{Sb}_{0,02}\text{O}_3$  (1),  $\text{LaIn}_{0,96}\text{Cr}_{0,02}\text{Sb}_{0,02}\text{O}_3$  (2),

$\text{La}_{0,997}\text{Pr}_{0,003}\text{In}_{0,96}\text{Cr}_{0,02}\text{Sb}_{0,02}\text{O}_3$  (3),  $\text{La}_{0,967}\text{Pr}_{0,003}\text{Bi}_{0,03}\text{InO}_3$  (4),

$\text{La}_{0,967}\text{Pr}_{0,003}\text{Bi}_{0,03}\text{In}_{0,98}\text{Sb}_{0,02}\text{O}_3$  (5),  $\text{La}_{0,967}\text{Pr}_{0,003}\text{Bi}_{0,03}\text{In}_{0,98}\text{Cr}_{0,02}\text{O}_3$  (6)



**Рисунок 2 – Температурные зависимости относительного удлинения  $\Delta l/l_0$**   
твердых растворов  $\text{La}_{0,997}\text{Pr}_{0,003}\text{In}_{0,98}\text{Sb}_{0,02}\text{O}_3$  (1),  $\text{La}_{0,967}\text{Pr}_{0,003}\text{Bi}_{0,03}\text{InO}_3$  (2) (а),  
 $\text{La}_{0,997}\text{Pr}_{0,003}\text{In}_{0,96}\text{Cr}_{0,02}\text{Sb}_{0,02}\text{O}_3$  (1),  $\text{La}_{0,967}\text{Pr}_{0,003}\text{Bi}_{0,03}\text{In}_{0,98}\text{Cr}_{0,02}\text{O}_3$  (2) (б),  
 $\text{LaIn}_{0,96}\text{Cr}_{0,02}\text{Sb}_{0,02}\text{O}_3$  (в)

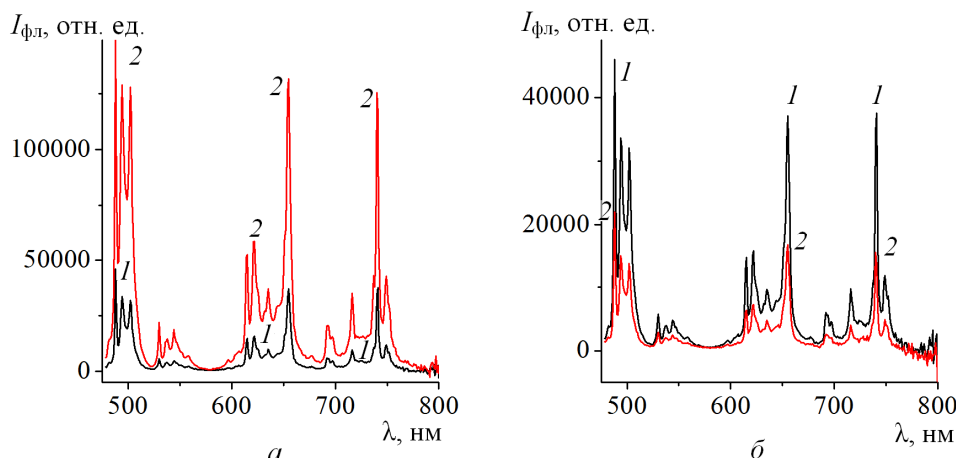
По полученным температурным зависимостям относительного удлинения  $\Delta l/l_0$  керамических образцов исследованных твердых растворов на основе индата лантана  $\text{LaInO}_3$  с использованием метода наименьших квадратов рассчитаны средние значения коэффициентов ли-

*Секция химической технологии и техники  
нейного теплового расширения  $\alpha$  этих образцов, величины которых при-  
веденены в табл. 2.*

**Таблица 2 – Коэффициенты среднего линейного теплового расширения  $\alpha$   
твердых растворов на основе индата лантана  $\text{LaInO}_3$ ,  
легированного ионами  $\text{Pr}^{3+}$ ,  $\text{Sb}^{3+}$ ,  $\text{Cr}^{3+}$ ,  $\text{Bi}^{3+}$**

Состав	$\alpha \cdot 10^6, \text{ K}^{-1}$	Состав	$\alpha \cdot 10^6, \text{ K}^{-1}$
$\text{La}_{0,997}\text{Pr}_{0,003}\text{In}_{0,98}\text{Sb}_{0,02}\text{O}_3$	7,59	$\text{La}_{0,967}\text{Pr}_{0,003}\text{Bi}_{0,03}\text{InO}_3$	8,77
$\text{LaIn}_{0,96}\text{Cr}_{0,02}\text{Sb}_{0,02}\text{O}_3$	8,43	$\text{La}_{0,967}\text{Pr}_{0,003}\text{Bi}_{0,03}\text{In}_{0,98}\text{Cr}_{0,02}\text{O}_3$	8,02
$\text{La}_{0,997}\text{Pr}_{0,003}\text{In}_{0,96}\text{Cr}_{0,02}\text{Sb}_{0,02}\text{O}_3$	8,82		

Анализ полученных спектров фотолюминесценции показал, что введение в твердый раствор  $\text{La}_{0,997}\text{Pr}_{0,003}\text{InO}_3$  ионов  $\text{Sb}^{3+}$  приводит к увеличению интенсивности полос фотолюминесценции ионов  $\text{Pr}^{3+}$  на спектре фотолюминесценции  $\text{La}_{0,997}\text{Pr}_{0,003}\text{In}_{0,98}\text{Sb}_{0,02}\text{O}_3$  по сравнению с интенсивностью полос фотолюминесценции твердого раствора  $\text{La}_{0,997}\text{Pr}_{0,003}\text{InO}_3$  (рис. 3 $a$ ). Следовательно, ионы  $\text{Sb}^{3+}$  являются сенсибилизатором фотолюминесценции ионов  $\text{Pr}^{3+}$ . Установлено, что введение ионов  $\text{Bi}^{3+}$  в твердый раствор  $\text{La}_{0,997}\text{Pr}_{0,003}\text{InO}_3$  приводит к уменьшению интенсивности полос фотолюминесценции ионов  $\text{Pr}^{3+}$  (рис. 3 $\delta$ ), следовательно, ионы  $\text{Bi}^{3+}$  не являются сенсибилизатором фотолюминесцентных свойств ионов  $\text{Pr}^{3+}$  при  $\lambda_{\text{возб}} = 445$  нм.



**Рисунок 3 – Спектры фотолюминесценции при  $\lambda_{\text{возб}} = 445$  нм  
твердых растворов  $\text{La}_{0,997}\text{Pr}_{0,003}\text{InO}_3$  (1),  $\text{La}_{0,997}\text{Pr}_{0,003}\text{In}_{0,98}\text{Sb}_{0,02}\text{O}_3$  (2) (а),  
 $\text{La}_{0,997}\text{Pr}_{0,003}\text{InO}_3$  (1),  $\text{La}_{0,967}\text{Pr}_{0,003}\text{Bi}_{0,03}\text{InO}_3$  (2) (δ)**

## ЛИТЕРАТУРА

1. Liu, X. Synthesis and luminescent properties of  $\text{LaInO}_3$ :  $\text{RE}^{3+}$  ( $\text{RE} = \text{Sm, Pr and Tb}$ ) nanocrystalline phosphors for field emission displays / X. Liu., J. Lin // Solid State Sci. – 2009. – Vol. 11. – P. 2030–2036.